

# Rotor 74A2

- [Français](#)
- [English](#)

Downloadable files

×

**Open access**

[Git project](#)

## About

Compressor 74A is part of a research program to study fans and compressors for advanced airbreathing engines to assess and improve the technology needed for high pressure ratio, good efficiency, and adequate stall margin in as few stages as possible. This compressor consists of inlet guide vanes and five stages, and it is designed for a 9.271 pressure ratio. Rotor 74A2 is the rotor of the second stage of this compressor.

- Original technical report <sup>[1]</sup>:

```
@TechReport{steinke1986design,
  author      = {Steinke, Ronald J.},
  date        = {1986},
  institution  = {NASA Lewis Research Center Cleveland, OH, United
States},
  title       = {Design of 9.271-Pressure-Ratio Five-Stage Core
Compressor and Overall Performance for First Three Stages},
  number      = {NASA-TP-2597},
  url         = {https://ntrs.nasa.gov/citations/19870008266},
}
```

- Picture :

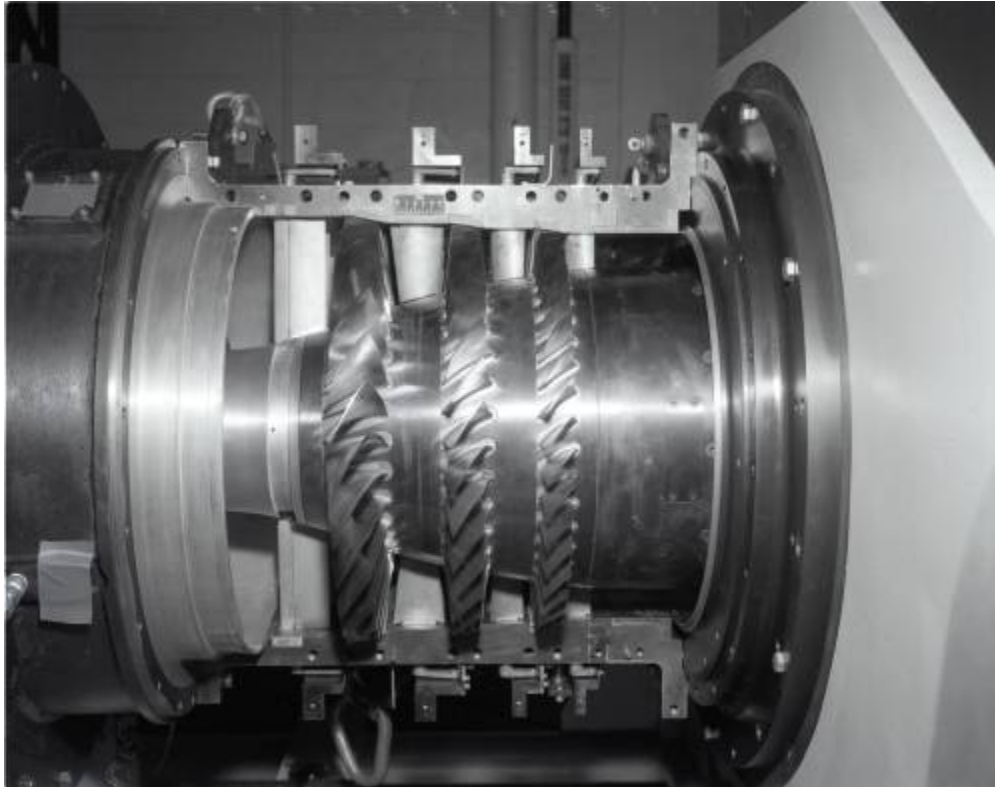


Fig. 1 <https://catalog.archives.gov/id/17443470>

- @Misc{Huebler1978records,  
author = {Huebler, D.},  
title = {74A Compressor. {R}ecords of the {N}ational {A}eronautics and  
{S}pace {A}dministration, 1903 - 2006. {P}hotographs relating to agency  
activities, facilities and personnel, 1973 - 2013},  
year = {1978},  
url = {<https://catalog.archives.gov/id/17443470>}}

### Useful documents

- [downloadable models](#) (Git project)
  - NASA technical report  
(.pdf)
  - geometrical parameters file  
(.csv), usable as input of OpenMCAD<sup>[2]</sup> to generate reference blade models.

## Reference blade

The **reference blade** is defined with multiple-circular arc profiles<sup>[3]</sup> given in the original NASA report<sup>[1]</sup>. Corresponding models are computed with the open-source code OpenMCAD<sup>[2]</sup>.

## Geometry

The geometry of rotor 74A2 is described in the original NASA report by the following tables. The length are in centimeters and the angles in degrees.

(d) Rotor 2

RP	PERCENT		RADII		BLADE ANGLES			DELTA INC	CONE ANGLE
	SPAN	RI	RO	KIC	KTC	KOC			
TIP	0.	24.778	24.300	63.49	54.90	46.37	3.35	-8.299	
1	5.	24.307	23.868	61.92	53.79	45.88	3.64	-7.345	
2	10.	23.867	23.504	60.51	52.77	45.40	3.92	-5.895	
3	20.	23.025	22.800	58.15	50.89	44.17	4.46	-3.478	
4	30.	22.201	22.110	56.40	49.13	42.43	4.97	-1.351	
5	40.	21.390	21.433	54.91	47.30	40.06	5.47	.610	
6	50.	20.581	20.765	53.48	45.47	37.09	5.96	2.505	
7	60.	19.773	20.107	52.11	43.53	33.48	6.43	4.367	
8	70.	18.966	19.462	50.81	41.51	29.22	6.88	6.218	
9	80.	18.161	18.835	49.63	39.37	24.01	7.30	8.087	
10	90.	17.355	18.230	48.67	36.98	16.95	7.64	9.992	
11	95.	16.950	17.937	48.30	35.61	12.43	7.78	10.961	
HUB	100.	16.487	17.556	47.87	34.05	6.70	7.94	11.527	

RP	BLADE THICKNESSES			AXIAL DIMENSIONS			
	TI	TM	TO	ZI	ZMC	ZTC	ZO
TIP	.028	.201	.027	14.275	15.749	16.341	17.549
1	.030	.219	.030	14.201	15.745	16.279	17.603
2	.032	.236	.032	14.136	15.743	16.221	17.647
3	.037	.268	.038	14.029	15.741	16.103	17.729
4	.042	.300	.042	13.941	15.737	15.979	17.806
5	.046	.331	.047	13.859	15.732	15.849	17.888
6	.051	.362	.051	13.778	15.727	15.711	17.976
7	.055	.393	.056	13.697	15.721	15.564	18.070
8	.059	.425	.061	13.611	15.710	15.405	18.166
9	.064	.457	.065	13.520	15.698	15.237	18.270
10	.069	.490	.070	13.414	15.681	15.048	18.384
11	.071	.506	.072	13.349	15.665	14.941	18.443
HUB	.074	.525	.074	13.275	15.647	14.820	18.519

## Aerodynamic design

	units	values
pressure ratio	[-]	1.691
mass flow	[kg/s]	29.71
tip speed	[m/s]	416
tip solidity	[-]	1.25
aspect ratio	[-]	1.17
number of blades	[-]	32
nominal rotation speed $\omega_n$	[rad/s]	1680

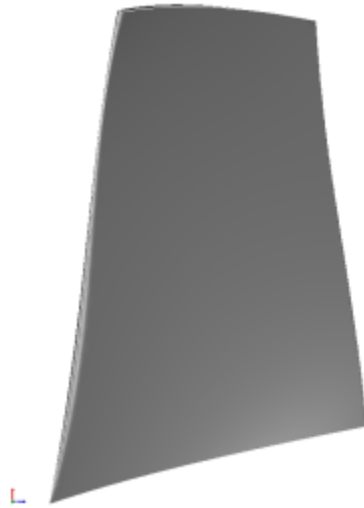
## Material properties

Rotor 74A2 is made of titanium according to the NASA report, but the exact properties are not provided. A generic titanium Ti-6Al-4V is considered:

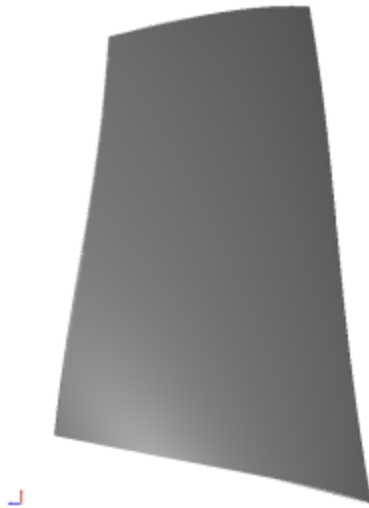
	units	values
alloy	[-]	Ti-6Al-4V
Young's modulus	[GPa]	108
density	[kg/m <sup>3</sup> ]	4400
Poisson's ratio	[-]	0.34
yield stress	[GPa]	0.824

## CAD model

The CAD model is computed with the open source code OpenMCAD<sup>[2]</sup>.



pressure side



suction side

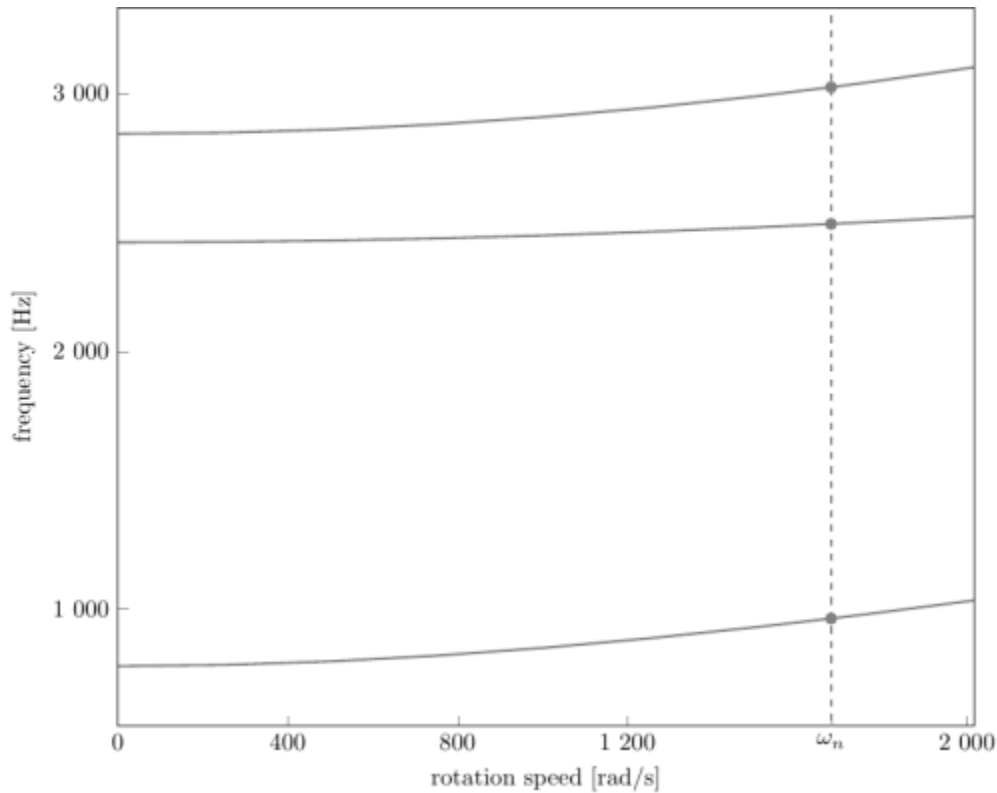
## Natural frequencies

First three natural frequencies (with clamped root) for the mesh computed with OpenMCAD<sup>[2]</sup>:

Mode	Type	Natural angular frequency (rad/sec)	Natural frequency (Hz)
1	1B	4884.84	777.45
2	1T	15222.59	2422.75
3	2B	17870.82	2844.23

## Campbell diagram

Evolution of the natural frequencies of the first 3 vibration modes, as a function of rotation speed, for the mesh computed with OpenMCAD<sup>[2]</sup>:



Campbell diagram computed with a linear centrifugal preload, with clamped root (nominal rotation speed  $\omega_n = 1\,680$  rad/s)

- graph (.pdf)
- Campbell data (.csv)

## Initial blade

The **initial blade** is defined with in-house LAVA parameters<sup>[4]</sup> computed from the reference blade CAD model. The initial blade is usually used as starting point for an optimization process. Its geometry is similar to the one of the reference blade.

## Natural frequencies

First three natural frequencies (with clamped root)

- from the whole mesh:

Mode	Type	Natural angular frequency (rad/sec)	Natural frequency (Hz)
1	1B	4883.51	777.24
2	1T	15179.04	2415.82
3	2B	17886.78	2846.77

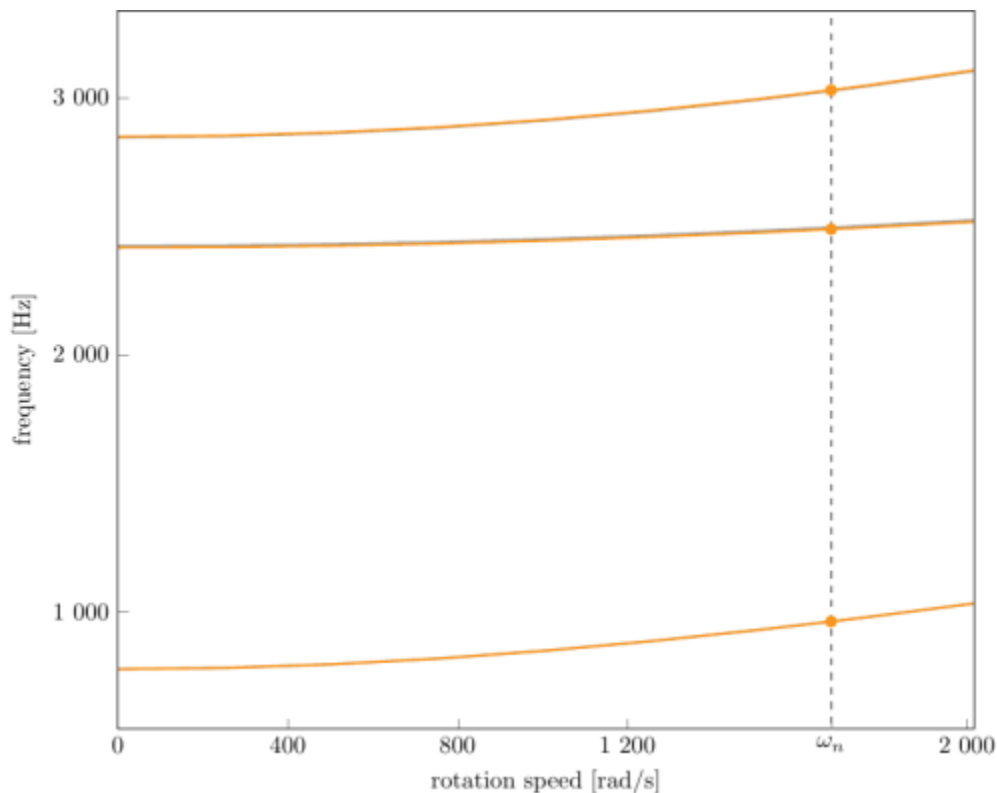
- from the reduced order model:

Mode	Type	Natural angular frequency (rad/sec)	Natural frequency (Hz)
1	1B	4884.14	777.34
2	1T	15188.03	2417.25

Mode	Type	Natural angular frequency (rad/sec)	Natural frequency (Hz)
3	2B	17907.64	2850.09

## Campbell diagram

Comparison of the evolution of the natural frequencies of the first 3 vibration modes, as a function of rotation speed for the initial and the reference blade:



Campbell diagram computed with a linear centrifugal preload, with clamped root (nominal speed  $\omega_n = 1$  680 rad/s),

initial blade (orange), reference blade (gray)

- graph (.pdf)
- Campbell data (.csv)

Fichiers téléchargeables

×

**Libre accès**

[lien vers le projet Git](#)

## À propos

Le compresseur 74A fait partie d'un programme de recherche visant à étudier les soufflantes et les compresseurs pour des moteurs à air comprimé afin d'évaluer et d'améliorer les technologies

nécessaires pour obtenir un rapport de pression élevé, un bon rendement et une marge de décrochage adéquate avec le moins d'étage possible. Ce compresseur comporte des redresseurs d'admission et cinq étages, et il est conçu pour un rapport de pression de 9,271. Le rotor 74A2 appartient au deuxième étage de ce compresseur.

- Rapport technique original <sup>[1]</sup>:

```
@TechReport{steinke1986design,  
  author      = {Steinke, Ronald J.},  
  date        = {1986},  
  institution  = {NASA Lewis Research Center Cleveland, OH, United  
States},  
  title       = {Design of 9.271-Pressure-Ratio Five-Stage Core  
Compressor and Overall Performance for First Three Stages},  
  number      = {NASA-TP-2597},  
  url         = {https://ntrs.nasa.gov/citations/19870008266},  
}
```

- Photographie :

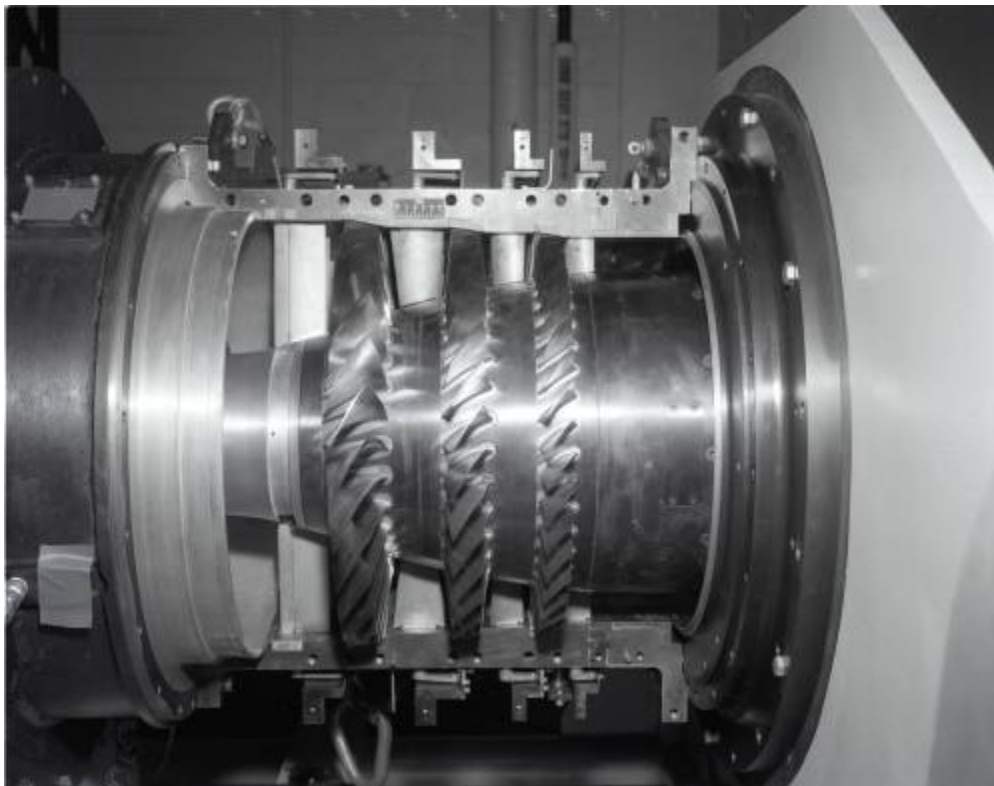


Fig. 1 <https://catalog.archives.gov/id/17443470>

- @Misc{Huebler1978records,  
 author = {Huebler, D.},  
 title = {74A Compressor. {R}ecords of the {N}ational {A}eronautics and  
{S}pace {A}dministration, 1903 - 2006. {P}hotographs relating to agency

```
activities, facilities and personnel, 1973 - 2013},
year      = {1978},
url       = {https://catalog.archives.gov/id/17443470}}
```

### Documents utiles

- [modèles téléchargeables](#) (lien vers projet Git)
  - rapport technique original
- de la NASA (.pdf)
- [fichier de paramètres géométriques](#) (.csv), utilisable en entrée de OpenMCAD<sup>[2]</sup> pour générer l'aube de référence

## Aube de référence

L'**aube de référence** est définie par des profils de type arcs circulaires multiples<sup>[3]</sup>, donnés dans le rapport technique original de la NASA<sup>[1]</sup>. Les modèles associés sont obtenus avec le code en libre accès OpenMCAD<sup>[2]</sup>.

## Géométrie

La géométrie du rotor 74A2 est décrite dans le [rapport d'origine de la NASA](#) par les tableaux suivants. Les grandeurs sont en centimètres et en degrés.

(d) Rotor 2

RP	PERCENT SPAN		RADII		BLADE ANGLES			DELTA	CONE ANGLE
	SPAN	RI	RO	KIC	KTC	KOC	INC		
TIP	0.	24.778	24.300	63.49	54.90	46.37	3.35	-8.299	
1	5.	24.307	23.868	61.92	53.79	45.88	3.64	-7.345	
2	10.	23.867	23.504	60.51	52.77	45.40	3.92	-5.895	
3	20.	23.025	22.800	58.15	50.89	44.17	4.46	-3.478	
4	30.	22.201	22.110	56.40	49.13	42.43	4.97	-1.351	
5	40.	21.390	21.433	54.91	47.30	40.06	5.47	.610	
6	50.	20.581	20.765	53.48	45.47	37.09	5.96	2.505	
7	60.	19.773	20.107	52.11	43.53	33.48	6.43	4.367	
8	70.	18.966	19.462	50.81	41.51	29.22	6.88	6.218	
9	80.	18.161	18.835	49.63	39.37	24.01	7.30	8.087	
10	90.	17.355	18.230	48.67	36.98	16.95	7.64	9.992	
11	95.	16.950	17.937	48.30	35.61	12.43	7.78	10.961	
HUB	100.	16.487	17.556	47.87	34.05	6.70	7.94	11.527	

RP	BLADE THICKNESSES			AXIAL DIMENSIONS			
	TI	TM	TO	ZI	ZMC	ZTC	ZO
TIP	.028	.201	.027	14.275	15.749	16.341	17.549
1	.030	.219	.030	14.201	15.745	16.279	17.603
2	.032	.236	.032	14.136	15.743	16.221	17.647
3	.037	.268	.038	14.029	15.741	16.103	17.729
4	.042	.300	.042	13.941	15.737	15.979	17.806
5	.046	.331	.047	13.859	15.732	15.849	17.888
6	.051	.362	.051	13.778	15.727	15.711	17.976
7	.055	.393	.056	13.697	15.721	15.564	18.070
8	.059	.425	.061	13.611	15.710	15.405	18.166
9	.064	.457	.065	13.520	15.698	15.237	18.270
10	.069	.490	.070	13.414	15.681	15.048	18.384
11	.071	.506	.072	13.349	15.665	14.941	18.443
HUB	.074	.525	.074	13.275	15.647	14.820	18.519

## Caractéristiques aérodynamiques

	unités	valeurs
<b>taux de compression</b>	[-]	1,691
<b>débit massique</b>	[kg/s]	29,71
<b>vitesse en tête</b>	[m/s]	416
<b>solidité en tête</b>	[-]	1,25
<b>allongement</b>	[-]	1,17
<b>nombre d'aubes</b>	[-]	32
<b>vitesse de rotation nominale <math>\omega_n</math></b>	[rad/s]	1680

## Propriétés matériau

Le matériau du rotor 74A2 est le titane d'après le rapport, mais ses caractéristiques ne sont pas fournies. Un alliage de titane Ti-6Al-4v est considéré :

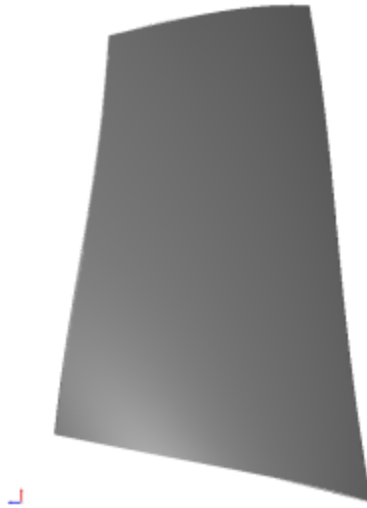
	unité	valeurs
<b>alliage</b>	[-]	Ti-6Al-4V
<b>module d'Young</b>	[GPa]	108
<b>masse volumique</b>	[kg/m <sup>3</sup> ]	4400
<b>coefficient de Poisson</b>	[-]	0,34
<b>limite élastique</b>	[GPa]	0,824

## Modèle CAO

Le modèle CAO est obtenu avec OpenMCAD<sup>[2]</sup>.



intrados



extrados

## Fréquences propres

Fréquences des trois premiers modes (noeuds du pied d'aube encastrés) pour le maillage obtenu avec OpenMCAD<sup>[2]</sup> :

Mode	Type	Pulsation propre (rad/sec)	Fréquence propre (Hz)
1	1F	4884,84	777,45
2	1T	15222,59	2422,75
3	2F	17870,82	2844,23

## Diagramme de Campbell

Évolution des fréquences propres des 3 premiers modes, en fonction de la vitesse de rotation, pour le maillage obtenu avec OpenMCAD<sup>[2]</sup>:

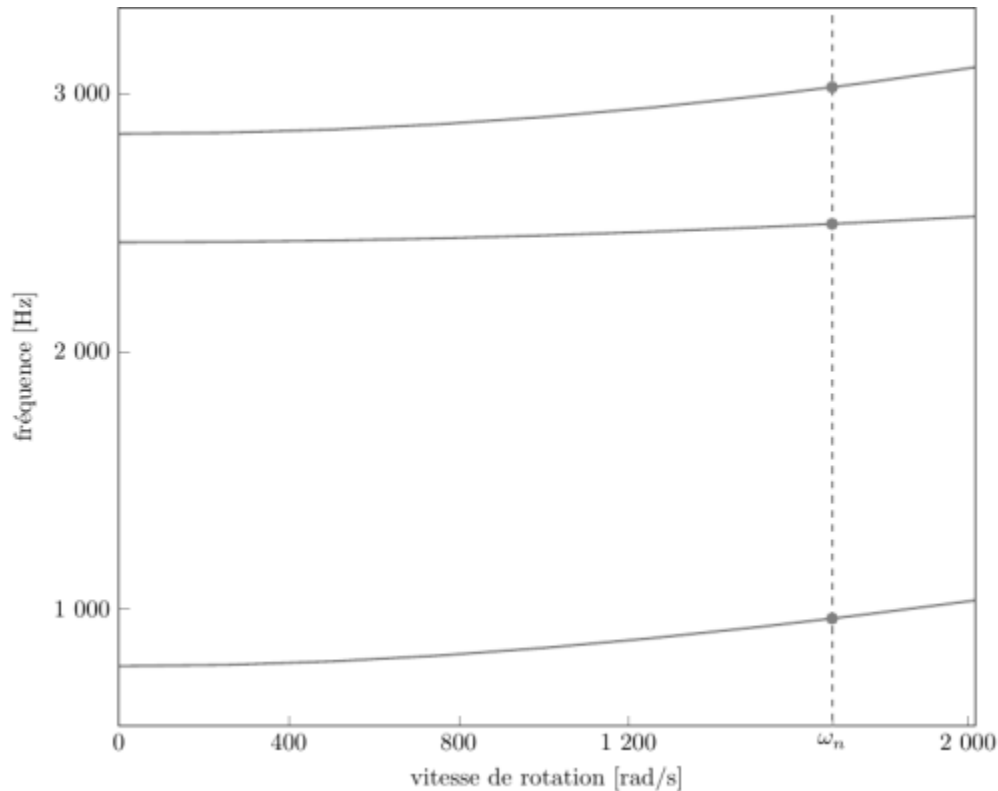


diagramme de Campbell calculé avec une précharge centrifuge linéaire, noeuds du pied d'aube encastés (vitesse nominale  $\omega_n = 1\,680$  rad/s)

- graphique (.pdf)
- données du Campbell (.csv)

## Aube initiale

L'**aube initiale** est définie par des paramètres spécifiques au LAVA<sup>[4]</sup> obtenus à partir du modèle CAO de l'aube de référence. L'aube initiale est classiquement utilisée comme point de départ dans le cadre de procédures d'optimisation; sa géométrie est similaire à celle de l'aube de référence.

## Fréquences propres

Fréquences des trois premiers modes (noeuds du pied d'aube encastés),

- pour le maillage complet :

Mode	Type	Pulsation propre (rad/sec)	Fréquence propre (Hz)
1	1F	4883,51	777,24
2	1T	15179,04	2415,82
3	2F	17886,78	2846,77

- pour le modèle réduit :

Mode	Type	Pulsation propre (rad/sec)	Fréquence propre (Hz)
1	1F	4884,14	777,34
2	1T	15188,03	2417,25

Mode	Type	Pulsation propre (rad/sec)	Fréquence propre (Hz)
3	2F	17907,64	2850,09

## Diagramme de Campbell

Comparaison de l'évolution des fréquences propres des 3 premiers modes, en fonction de la vitesse de rotation, pour l'aube initiale et de référence:

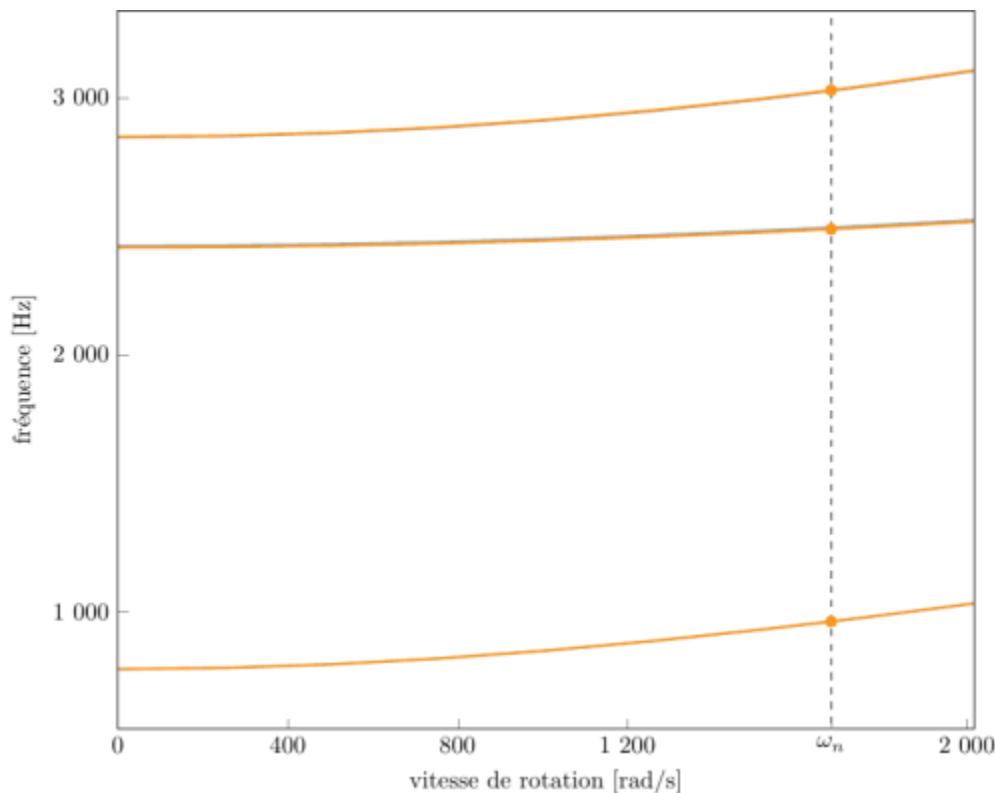


diagramme de Campbell calculé avec une précharge centrifuge linéaire, noeuds du pied d'aube encastrés (vitesse nominale  $\omega_n = 1\,680$  rad/s),

aube initiale (orange), aube de référence (grise)

- graphique (.pdf)
- données du Campbell (.csv)

- <sup>a, b, c, d</sup> Steinke R.J. «Design of 9.271-Pressure-Ratio Five-Stage Core Compressor and Overall Performance for First Three Stages » 1986. [pdf](#)
- <sup>a, b, c, d, e, f, g, h, i, j</sup> Kojtych S., Batailly A. «OpenMCAD, an open blade generator: from Multiple-Circular-Arc profiles to Computer-Aided Design model» 2022. [open source code](#)
- <sup>a, b</sup> Crouse *et al.* «A computer program for composing compressor blading from simulated circular-arc elements on conical surfaces » 1969. NASA-TN-D-5437. [pdf](#)
- <sup>a, b</sup> Kojtych S. *et al.* «Methodology for the Redesign of Compressor Blades Undergoing Nonlinear Structural Interactions: Application to Blade-Tip/Casing Contacts » 2022. Journal of Engineering for Gas Turbines and Power, Vol. 145, No. 5. [pdf](#)

Document issu de la page wiki:

[https://lava-wiki.meca.polymtl.ca/public/modeles/rotor\\_74a2/accueil](https://lava-wiki.meca.polymtl.ca/public/modeles/rotor_74a2/accueil)

Dernière mise à jour: **2024/08/02 10:27**